

## เอกสารอ้างอิง

### ภาษาไทย

ดวงสมร ลิมปิติ. Fluorescence spectrophotometer. ใน สเปคโทรสโคปิกบงงานวิเคราะห์ยา, หน้า 111-125. เชียงใหม่ : ภาควิชาเภสัชเคมี คณะเภสัชศาสตร์ มหาวิทยาลัยเชียงใหม่, 2532.

พักตร์พรัช แสงตี. เภสัชจุลศาสตร์แบบห้องเดี่ยว. ใน เภสัชจุลศาสตร์, หน้า 37-58. เชียงใหม่ : ภาควิชาเภสัชกรรม คณะเภสัชศาสตร์ มหาวิทยาลัยเชียงใหม่, 2531.

ชีวสมมูลร์. ใน อัตราและปริมาณยาที่เข้าสู่กระแสโลหิตและชีวสมมูลร์, หน้า 66-111. เชียงใหม่ : ภาควิชาเภสัชกรรมคณะเภสัชศาสตร์ มหาวิทยาลัยเชียงใหม่, 2531.

สมชัย วงศ์ทางประเสริฐ. การศึกษาเปรียบเทียบการเอื้อประโยชน์ในร่างกายของยาเม็ดพาราเซ็ตตามออลที่จำหน่ายในประเทศไทย, หน้า 14 - 15. วิทยานิพนธ์ปริญญาโทบัณฑิต จุฬาลงกรณ์มหาวิทยาลัย, 2529.

สมพงษ์ จินายน. การวิเคราะห์ปริมาณสารกลับคืน. ใน หลักการประเมินผลสมบัตitecnic วิเคราะห์สำหรับห้องปฏิบัติการเคมีคลินิก, หน้า 141-152. กรุงเทพมหานคร : ภาควิชาเทคโนโลยีการแพทย์ คณะแพทยศาสตร์ จุฬาลงกรณ์มหาวิทยาลัย, 2529.

อรพรรณ มาตังคสมบัติ. Beta adrenergic blocking drugs. ใน พื้นฟูวิชาการด้านเภสัชกรรมคลินิกครั้งที่ 8 เรื่อง ยาที่ใช้ในโรคหัวใจและหลอดเลือด, หน้า 6-35. กรุงเทพมหานคร : คณะเภสัชศาสตร์ มหาวิทยาลัยมหิดล, 2526.

เติมศรี ช้านิจารกิจ. การวิเคราะห์ความแปรปรวนแบบทางเดียว. ใน สถิติประยุกต์ทางการแพทย์, หน้า 249-259. กรุงเทพมหานคร : ภาควิชาเวชศาสตร์ป้องกันสังคม คณะแพทยศาสตร์ จุฬาลงกรณ์มหาวิทยาลัย, 2531.

ການອ້າງອຸດ

Abramowiez, M. Drugs used in migraine. Medical letter 26(1984): 95.

Ahnve, S., and Vallin, H. Influence of heart rate and inhibition of autonomic tone on QT interval. Circulation 65(1982): 435-439.

Albani, F., Riva, R., and Baruzzi, A. Simple and rapid determination of propranolol and its active metabolite, 4-hydroxypropranolol in human plasma by liquid chromatography with fluorescense detection. Journal of chromatography 228(1982): 362-365.

American Hospital Formulary Service. Propranolol hydrochloride. In Drug information, pp. 832-838 n.p., 1986.

Bahr, C.V., Hermansson, J., and Lind, M. Oxidation of (R)- and (S)- propranolol in human and dog liver microsomes. Species differences in stereoselectivity. The Journal of Pharmacology and Experimental Therapeutics 26(April 1982): 458-462.

Bataille, C., Bercoff, C., Papeente, E.A., Valle, D., and Lebrec, D. Effect of propranolol on renal blood flow and renal function in patients with cirrhosis. Gastroenterology 86(1984): 123-133.

Benet, L.Z., and Williams, R. Design and optimization of dosage regimens: Pharmacokinetic data. In Gilman, A.G., Rall, T.W., Nies, A.S., and Taylor, P. (eds.) Goodman & Gilman's the Pharmacological Basis of Therapeutics, vol 2. 8th ed. pp.1704. New York: Pergamon publishing, Co., 1991.

Biswas, N.R., Garg, S.K., Kumar, N., Mukhejee, S., and Sharma, P.L.

Comparative pharmacokinetic and pharmacodynamic study of four different brands of propranolol in normal volunteers.

International Journal of Clinical Pharmacology, Therapy and Toxicology 27 (1989): 515-519.

Biswas, N.R., Garg, S.K., Lal, R., Kumar, N., Gyawali, K., Narendranath, K.A., and Sharma, P.L. Pharmacokinetic study of new sustained release preparation of propranolol in normal volunteers.

International Journal of Clinical Pharmacology, Therapy and Toxicology 26(1988): 436-438.

Black, J.W., Crowther, A.F., Shanks, R.G., Smith, L.H., Dornhorst, A.C. A new adrenergic beta receptor antagonist. Lancet 1(1964): 1080.

British Pharmacopeia Commission. Propranolol tablets. In British Pharmacopeia, pp. 996. London: Her Majesty's Stationery office, 1988.

Buhler, F.R., Larahg, J.H., Baer, L., Vanghau, ed., and Brunner, H.R. Propranolol inhibition of renin secretion: a specific approach to diagnosis and treatment of renin dependent hypertensive disease. New England Journal of Medicine 287(1972): 1209-1214.

Clark, R.G., Araki, M., and Rawling, J.L. Propranolol induced dyspnea in a nonasthmatic male. Drug Intelligence and Clinical Pharmacy 46(1982): 776-777.

Costteden, C.M., and George, C.F. The effect of aging on the hepatic clearance of propranolol. British Journal of Clinical Pharmacology 7(1979): 49-54.

Distler, A., Keim, H.J., Cordes, U., Philipp, T., and Wolff, H.P. Sympathetic responsiveness and antihypertensive effect of beta-receptor blockade in essential hypertension. The American Journal of Medicine 64(1978): 446-451.

Dossel, M.T., and Bogaert, M.G. High performance liquid chromatographic determination of propranolol and 4-hydroxypropranolol in plasma. Journal of Pharmaceutical Sciences 79(June 1981): 688-689.

Drummer, O.H., McNeil, J., Pritchard, E., and Louis, W.J. Combine high performance liquid chromatography procedure for measuring 4-hydroxypropranolol and propranolol in plasma: Pharmacokinetics measurements following conventional and slow release propranolol administration. Journal of Pharmaceutical Sciences 70(September 1981): 1030-1032.

Duff, T.J., et al. D-propranolol : Non adrenergically mediated electrophysiologic actions in human. Circulation 66 Supp II(October 1982): II-372 (Abstr)

Dupont, E., Hanson, H.J., and Dolby, M.A. Treatment of benign essential tremor with propranolol. Acta Neurologica Scandinavica 49(1973): 75-84.

Esler, M., Zweitler, A., Randall, O., and Quattro, V. Pathophysiologic and pharmacokinetic determinants of the antihypertensive response to propranolol. Clinical Pharmacology of Therapy 22(1977): 299-308.

Evans, D.A., Mahgoub, A., Sloan, T.P., Idle, J.R., and Smith, R.L. A family and population study of genetic polymorphism of debrisoquine oxidation in a white British population. Journal of Medical Genetics 17 (1980): 102-105.

Fishman, W., et al. Clinical Pharmacology of the new beta-adrenergic blocking drugs. Part 4 adverse effect. Choosing a  $\beta$ -adrenoceptor blocker. American Heart Journal 98 (1975): 256-262.

Frishman, W. H. Beta adrenoceptor antagonist : New drugs and new indications. New England Journal of medicine 305(1981): 500.

Frishman, W., and Silverman, R. Clinical pharmacology of the new beta adrenergic blocking drugs. Part 2 physiologic and metabolic effect. American Heart Journal 97(1979): 797-807.

Gross, G.J., and Winbary, M. M. Beta adrenergic blockade on intramycocardial distribution of coronary blood flow. Journal Pharmacology of Experimental Therapy. 187(1973): 451-464.

Hadden, D.R., Montgomery, A.D., Shanks, R.G., and Weaver, J.A. Propranolol and iodine-131 in management of thyrotoxicosis. Lancet 2 (1968): 852.

- Hager, W.D., Pieniasack, H.J., Perrier, D., Mayershnn, M., and Goldberger, V. Assessment of beta-blockade with propranolol. Clinical Pharmacology and Therapeutics 30(September 1981): 283-289.
- Halland, B.O., and Kaplan, N.B. Propranolol in the treatment of hypertension. The New England Journal of Medicine 294(1976): 933-934.
- Hallison, M.D., et al. Pharmacodynamics of propranolol on left ventricular function : Assessment by Doppler echocardiography. Clinical Pharmacology of Therapeutics 48(October 1990): 431-438.
- Harvey, S.C. Propranolol hydrochloride. In Remington's pharmaceutical sciences, 16th ed. pp. 845-846. Pennsylvania: Mack Publishing Co., 1980.
- Hjalmarson, A. International Beta-Blocker review in acute and post myocardial infarction. American Journal of Cardiology 61(1988) : 26B-29B.
- Hoffman, B., and Lefkowitz, R. Adrenergic receptor antagonist. In Gilman, A.G., Rall, T.W., Nies, A.S., and Taylor, P. (eds.) Goodman and Gilman's the Pharmacological Basis of Therapeutics, vol 2. 8th ed. pp. 221-243. New York: Pergamon publishing, Co., 1991.
- Howe, R., and Shanks, R.G. Optical isomers of propranolol. Nature (Lond) 210(1966): 1336-1338.

Inaba, T., Otton, S.V., and Kalow, W. Debrisoquine hydroxylation capacity. Problems of assessment in two population.

Clinical of Pharmacology of Therapeutics 29 (1981): 218-223.

James, D. B. et al. Blood pressure and norepinephrine spillover during propranolol infusion in humans. American Journal of Physiology 248(1985): R400-R406.

Kawashima, K., Levy, A., and Spector, S. Stereospecific radioimmunoassay for propranolol isomers. The Journal of Pharmacology and Experimental Therapeutics 196(1976): 517-523.

Kelliher, G.J., and Buckley, J.P. Central hypotensive activity of dl- and d-propranolol. Journal of Pharmaceutical Sciences 50(1978): 1276.

Kelow, W., Otton, S.V., Kedar, D., Endrenyi, L., and Inaba, T. Ethnic differences in drug metabolism: debrisoquine 4-hydroxylation in Caucasian and Orientals. Canadian Journal of Physiology and Pharmacology 58(1980): 1142-1144.

Koshakji, R.P., and Wood, J.J. Improve high performance liquid chromatographic method for the simultaneous determination of propranolol and 4-hydroxypropranolol in plasma with fluorescence detection. Journal of Chromatography 422 (1987): 244-300.

Krukenyer, J.J., Boudoulas, H., Binkley, P.F., and Lima, J.J. Comparison of hypersensitivity to adrenergic stimulation after abrupt withdrawal of propranolol and nadolol: Influence of half life differences. American Heart Journal 120 (September 1990): 572-584.

Kwong, C.E., and Shen, D.D. Versatile isocratic high performance liquid chromatographic assay for propranolol and its basic neutral and acidic metabolites in biological fluids. Journal of Chromatography 414 (1987): 365-379.

Lefkowithz, R.J. Direct binding studies of adrenergic receptor: Biochemical physiological and clinical implications. Annual of Internal Medicine 91 (1976): 450-458.

Leidholm, H., Wahlin, Boll, E., and Melander, A. Mechanisms and variations in the food effect on propranolol bioavailability. European Journal of Clinical Pharmacology 38(1990): 469-475.

Lennard, M.S., Turker, G.T., and Woods, H.F. The polymorphic oxidation of beta adrenoceptor antagonist: clinical pharmacokinetic consideration. Clinical Pharmacokinetics 1(1986): 1-17.

Lennard, M.S., et al. Oxidation phenotype a major determinant of metoprolol metabolism and response. The New England Journal of Medicine 307 (December 1982): 1558-1560.

Lo, M., and Reigelman, S. Determination of propranolol and its major metabolites in plasma and urine by high performance liquid chromatography without solvent extract. Journal of Chromatography 183(1980): 213-220.

Mak, I.T., Arroyo, C.M., and Weglicki, W.B. Inhibition of sarcolemma carbon-centered free radical formation by propranolol. Circulation research 65(1989): 1151-1156.

Malcolm, J. Adrenergic beta-receptor inhibition and hyperthyroidism.

Acta Cardiologica suppl 15(1972): 307-326.

Majewski, H., and Rand, M.J. Adrenaline mediated hypertension: a due to the antihypertensive effect of  $\beta$ -adrenoceptor blocking drug.

Trends in Pharmacological Sciences 2(1981): 24-26.

Meier, J. Pharmacokinetic comparison of pindolol with other beta adrenoceptor blocking agents. American Heart Journal 104(1982): 364-373.

Milo, B., and Donald, P. Drug concentration in plasma. In Pharmacokinetics, 3rd ed. pp. 224-225. Philadelphia: Lea Marcel Dekker, inc., 1982.

. Drug concentration in plasma. In Pharmacokinetics, 2nd ed. revised and expanded pp. 169-175. New York : Marcel Dekker, inc., 1982.

Milo, G. Polymorphic oxidation. In Biopharmaceutics and Clinical Pharmacokinetics, 3rd ed. pp.224-225. Philadelphia: Lea and Febiger, 1984.

Mullane, J.F., Kanfman, J., Drornik, N., and Coelho, J. Propranolol dosage, plasma concentration and beta-blockade. Clinical Pharmacology of Therapeutics 32(1982): 692-700.

Murray, K.T., et al. Suppression of ventricular arrhythmias in man by d-propranolol independent of beta adrenergic receptor blockade. Journal of Clinical Investigation 8(March 1990): 836-842.

Nace, G.S., and Wood, A.J. Pharmacokinetics of long acting propranolol implications for therapeutic use. Clinical Pharmacokinetics 13 (1987): 51-64.

Pagliaro, L., Pasta, L., and Amico, G.D. A randomised controlled trial of propranolol for prevention of initial bleeding in cirrhotic patients with portal hypertension. Drug 37(Suppl 2)(1989): 48-51.

Paterson, J.W., Conolly, M.E., Dolley, C.T., Hayes, A., and Cooper, R.G. The pharmacodynamics and metabolism of propranolol in man. Clinical Pharmaceutical Sciences 38(1970): 10p.

Richard, L.L., et al. Effect of age on the protein binding and disposition of propranolol stereoisomers. Clinical Pharmacology of Therapeutic 47(1990): 447-475.

Salle, E.D., et al. A sensitive gas chromatographic method for the determination of propranolol in human plasma. Journal of Chromatography 84(1973): 347-355.

Sever, P.S. : 1985 THE year of hypertension trials : Interpreting the results. Trends in Pharmacological Sciences 7(1986): 134-139.

Shanol, D.C. Drug Therapy : Propranolol New England. Journal of Medicine 293(1975): 280-289.

Sood, S.P., et al. Routine methods in toxicology and therapeutic drug monitoring by high performance liquid chromatography IV. A rapid microscale method for determination of propranolol and 4-hydroxypropranolol in plasma. Therapeutic Drug Monitoring 10(1988): 224-230.

Takamashi, H., et al. Decreased absorption a possible cause for the lower bioavailability of a sustained release propranolol. Journal of Pharmaceutical Sciences 79(March 1990): 212-215

Takci, H., Ogata, H., and Ejima, A. Determination of propranolol and its major metabolite, napthoxylactic acid in human plasma by high performance liquid chromatography. Chemical and Pharmaceutical Bulletin 31(1983): 1392-1394.

Tarazi, P.C., and Dustan, H.P. Beta adrenergic blockade in hypertension. American Journal of Cardiology 29(1972): 63.

Thadani, U., and Parker, J.O. Propranolol in angina pectoris comparison of therapy given two and four times daily. American Journal of Cardiology 46(1980): 117-123.

Todtong, J. Pharmacokinetic profile of propranolol in healthy Thai. Master's Thesis, Mahidol University, 1986.

United States Pharmacopeia Convention. Propranolol hydrochloride.

The United States Pharmacopeial XXII 21<sup>st</sup> rev The National Formulary XVII, pp. 1175-1178. Rockville: United States Pharmacopeial Convention, inc., 1990.

Walle, T., Byington, R.P., Furberg, C.D., McIntyre, K.M., and Vokonas, P.S. Biologic determinants of propranolol disposition: Results from 1308 patients in the Beta-Blocker Heart Attack Trial. Clinical Pharmacology of Therapeutics 38(1985): 509-518.

Walle, U.K., Walle, T., Bai, S., and Olanoff, S. Stereoselective binding of propranolol to human plasma, alpha-1-acid glycoprotein, and albumin. Clinical Pharmacology of Therapeutics 34(1983) : 718-723.

Watson, R.G., et al. A comparative pharmacokinetic study of conventional propranolol and long acting preparation of propranolol in patient's with cirrhosis and normal controls. British Journal of Pharmacology 24 (1987): 527-535.

Weber, M.A., Stokes, G.S., and Gain, J.M. Comparison of the effect of renin release of beta adrenergic antagonist with differing properties. Journal of Clinical Investigation 54(1979): 1413-1419.

Weksler, B.B., Glilik, M., and Pink, J. Effect of propranolol on platelet function. Blood 49(1977): 185-196.

Wool, N.M., Audoh, B., Mahgoub, A., Sloan, T.P., Idle, J.R., and Smith, R.L. Debrisoquin hydroxylation polymorphism among Guenaians and Caucasians. Clinical Phamacoology and Therapeutics 26(November 1979):584-591.

Yazigi, A.E., and Martin, C.R. Determination of propranolol in plasma by radical compression liquid chromatography with fluorometric detection. Clinical Chemistry 31(1985): 1196-1197.

Zhou, H.H., Silberstein, D.J., Koshakji, R.P., and Wood J.J. Individual differences in  $\beta$ -receptor density contribute to variability in response to  $\beta$ -adrenoceptor antagonists. Clinical Pharmacology of Therapeutics 45 (June 1989): 587-592.

Zhou, H.H., Silberstein, D.J. Koshakji, R.P., Wood J.J. and Wilkinson, G.P. Racial differences in drug response : Altered sensitivity to and clearances of propranolol in men of Chinese descent as compared with Americans Whites. The New England Journal of Medicine 320 (March 1989): 565-570.

**ภาคผนวก**

## ภาคผนวก ก

### การศึกษาประสิทธิภาพของยาเม็ด propranolol ภายนอกร่างกาย

เพื่อเป็นข้อมูลในการเลือกยาเม็ดที่นำมาศึกษาการเข้าประจำอยู่ในร่างกายของยาเม็ด propranolol ดังนี้ ยาเม็ด propranolol มาตรฐาน จากบริษัทต้นแบบ หนึ่งชนิด และยาเม็ด propranolol จากบริษัทอื่นที่ผลิตภายใต้ประเทศอีกสามชนิด

ศึกษาตามมาตรฐาน United State Pharmacopeia XXII ดังนี้

1. ศึกษาการแตกกระเจยตัวของยา : Disintegration studies
2. ศึกษาการละลาย : Dissolution studies

### วิธีดำเนินการทดลอง การศึกษาประสิทธิภาพของยาเม็ด propranolol ภายนอกร่างกาย

1. ศึกษาการแตกกระเจยตัวของยาเม็ด propranolol โดยใช้ Disintegration apparatus ชั่งความคุณอุณหภูมิไว้ที่  $37 \pm 2^\circ\text{C}$

การทดลองจะใส่ยาเม็ดในหลอดแก้วทึบ 6 หลอด หลอดละ 1 เม็ด ชั่งบรรุน้ำกลับที่อุณหภูมิห้อง วางทึบไว้ 5 นาที เพื่อลดลักษณะที่เคลื่อนกายอนออก หลังจากนั้น ปิดแท่นแก้วพลาสติก (disk) ในหลอดแก้วทึบ 6 หลอด และนำมาทดสอบการกระเจยตัวในน้ำอุ่นเที่ยวนในการเพาะอาหาร โดยเบิดเครื่องให้ชักชั้นลง พร้อมกับจับเวลาที่เม็ดยาทึบหมดกระเจยตัวลดลงแต่แรก เม็ดยาทึบจะต้องกระเจยตัวให้หมดภายในเวลาที่กำหนดไว้ใน USPXXII คือ 30 นาที ถ้ามี 1 หรือ 2 เม็ด ที่แตกกระเจย ไม่หมดจึงทำซ้ำอีก 12 เม็ด ชั่งการกระเจยตัวไม่ควรน้อยกว่า 16 เม็ด ในการทดสอบทึบหมด 18 เม็ด

2. ศึกษาการละลายของยาเม็ด propranolol ทึบ 7 บริษัท โดยใช้เครื่องมือ Apparatus I ทดลองในสารละลาย 1% HCl ปริมาตร 1,000 มิลลิลิตร

เครื่องมือ Apparatus I ประกอบด้วย basket ขนาดเล็ก 6 อัน ชั่งยอดติดกับแกนกลางที่หมุนได้ อัตรา 1,000 รอบต่อนาที ให้ทึบหมดอยู่ในสารละลาย 1% HCl 1,000 ml

จากนั้น นำสารละลายน้ำกลูโคสที่ปรุงยา 30 นาที โดยใช้ UV spectrophotometer  
อ่านค่า absorbance ที่ wave length 289 nm และค่าความเข้มของ propranolol โดย  
ใช้เส้นโค้งมาตรฐาน (standard curve)

## ภาคผนวก ๑

ตารางที่ 16 ลักษณะทางกายภาพของอาสาสมัคร

อาสาสมัคร	เพศ	อายุ (ปี)	ส่วนสูง (ซม.)	น้ำหนัก (กг.)
1	หญิง	26	149.0	43.0
2	หญิง	23	157.0	54.5
3	หญิง	24	157.0	55.5
4	หญิง	33	156.5	49.0
5	หญิง	35	150.5	48.5
6	ชาย	33	162.0	56.0
7	ชาย	36	172.0	76.5
8	ชาย	25	175.0	61.5
9	ชาย	20	175.0	58.0
10	ชาย	34	163.0	57.0
$\bar{X}$		28.96	161.70	55.95
SE		1.76	2.86	2.71
SD		5.56	9.05	8.56

หมายเหตุ ผลการตรวจร่างกายโดยแพทย์ พบว่าปกติทุกคน หลังจากนั้นผู้ป่วยจะได้รับ การตรวจคลื่นไฟฟ้าหัวใจ ถ้าผิดปกติจะไม่นำเข้าร่วมการวิจัย

ตารางที่ 17 ผลการตรวจเลือดทางปัจจุบันของอาสาสมัคร

ทดสอบ	ค่าปกติ	อาสาสมัคร									
		1	2	3	4	5	6	7	8	9	10
Glucose	65-110 mg/DL	85	81	78	75	91	98	105	100	90	80
BUN	10-20 mg/DL	13	12	9	9	8	21	13	10	13	6
Creatinine	0.5-2.0 mg/DL	0.8	0.8	0.9	1.0	0.9	1.1	1.1	0.9	1.1	1.0
Albumin	3.4-5.5 G/DL	4.5	4.8	4.8	5.2	4.8	4.5	4.7	4.7	4.9	4.4
SGOT	0-38 U/DL	16	15	24	18	26	31	21	15	27	19
SGPT	0-38 U/DL	8	12	24	17	23	15	36	17	14	11

หมายเหตุ mg/DL = มิลลิกรัมต่อเดซิลิตร

G/DL = กรัมต่อเดซิลิตร

U/DL = มูนิตต่อเดซิลิตร

ตารางที่ 18 ผลการตรวจคอมพลีทบเลดเคาน์ต (complete blood counts) ของอาสาสมัคร

## ภาคพนวก ค

ตารางที่ 19 ข้อมูลกราฟมาตรฐานสำหรับหาความเข้มข้นของยา propranolol ในพลาสม่า ช่วงความเข้มข้น 0 ถึง 200 นาโนกรัม/มิลลิลิตร โดยใช้ความถดถอยเชิงเส้นตรง (linear regression)

ลำดับ ที่	มาตรฐาน ความเข้มข้น (ng/ml)	อัตราส่วนพื้นที่ใต้กราฟ ของ peak PL*/IS** (Y)	ความเข้มข้น ค่าน้ำมันกลับ (ng/ml)	สัมประสิทธิ์ ความแปรปรวน (%CV)	%recovery
	(X)	(Y)	(ng/ml)	(%CV)	
1	0	0	-	-	-
2	6.25	0.3555	5.9665	7	95
3	12.5	0.6687	11.4806	1	92
4	25	1.3378	23.2606	3	93
5	50	3.0127	52.9481	7	105
6	100	5.7408	100.7782	5	101
7	150	8.7600	152.8768	3	102
8	200	11.2259	197.3468	6	99

1. แต่ละค่าเป็นค่าเฉลี่ยของ 3 ตัวอย่าง

2. จากสมการเส้นตรง  $y = a + bx$

$$a = 0.0166 \quad b = 0.05684 \quad r = 0.9996$$

3. ความเข้มข้นค่าน้ำมันกลับ =  $\frac{\text{อัตราส่วนพื้นที่ใต้กราฟของ peak PL/IS} - a}{b}$

4. %recovery =  $\frac{\text{ความเข้มข้นค่าน้ำมันกลับ}}{\text{ความเข้มข้นที่ทราบ}} \times 100$

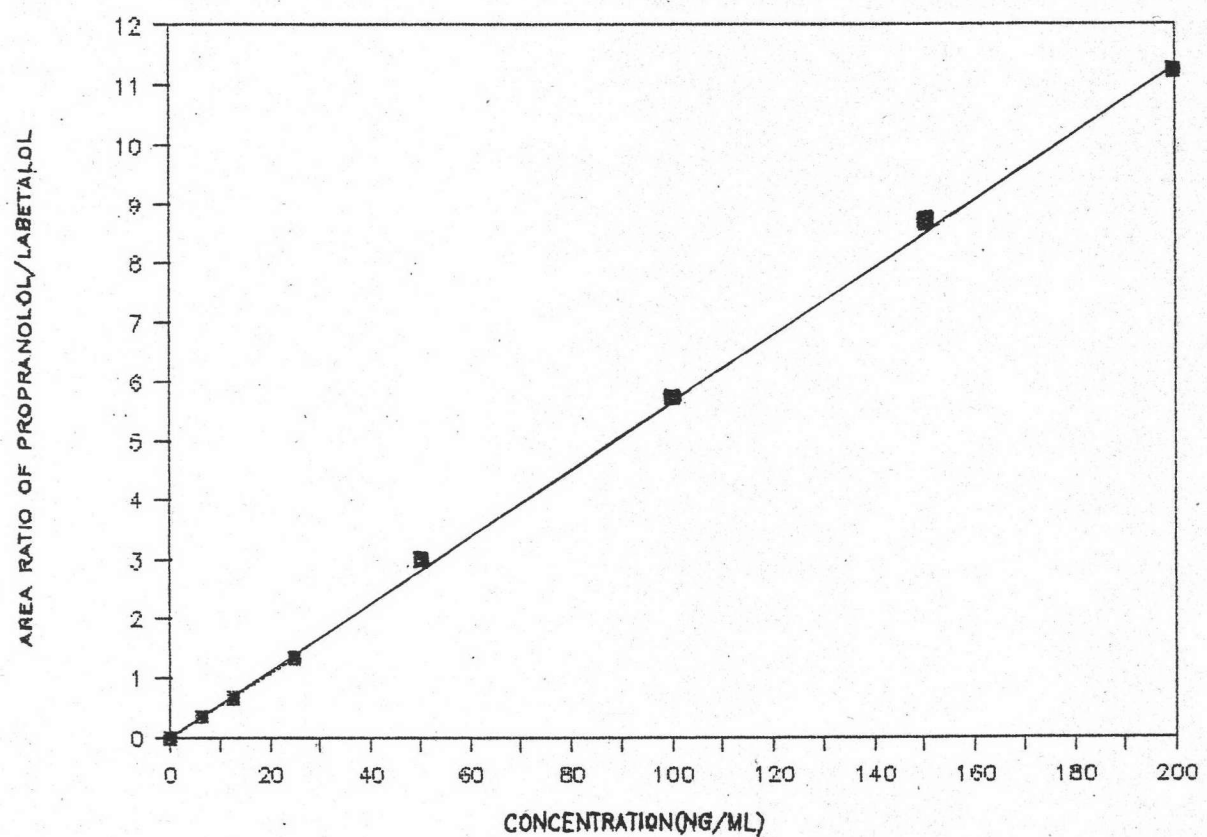
\* propranolol

\*\* Internal standard

5. สัมประสิทธิ์ของความแปรปรวน (coefficient of variation)

$$= \frac{\text{ค่าเบี่ยงเบนมาตรฐาน}}{\text{ค่าเฉลี่ย}} \times 100$$

STANDARD CURVE



รูปที่ 28 กราฟมาตรฐานของความเข้มข้น propranolol ในพลาสماในช่วงความเข้มข้น 0 - 200 นาโนกรัม/มิลลิลิตร

## ภาคผนวก ๔

### การประเมินคุณสมบัติของเทคนิควิเคราะห์ปริมาณยา propranolol ในพลาสม่าโดยใช้ HPLC

โดยหาค่า ความไว (sensitivity) ความเที่ยงตรง (precision) และความแม่นยำ (accuracy) ดังนี้

#### 1. ศึกษาความเป็นเส้นตรง ในช่วงความเข้มข้น 0-200 ng/ml ดังนี้

1.1 เทเรียมสารละลายน้ำตาล propranolol ในพลาสม่า ให้มีความเข้มข้น 6.25, 1.25, 25, 50, 100, 150 และ 200 ng/ml

1.2 นำสารละลายน้ำตาล propranolol ในพลาสม่า ที่ความเข้มข้นต่างๆ ผ่านชั้นตอน การสกัดดังกล่าว (หน้า 30) และฉีดเข้าเครื่อง HPLC

1.3 จากโปรแกรมที่ได้ นำมาสร้างกราฟมาตรฐานระหว่าง propranolol ที่ความเข้มข้นต่าง ๆ (แกน x) กับ ค่าอัตราส่วนพื้นที่ใต้กราฟของ propranolol กับ labetalol (แกน y)

1.4 จากราฟมาตรฐาน นำมาหาค่า correlation coefficient (r)

#### 2. การหาค่า with in-run precision โดย

ทำการวิเคราะห์หาปริมาณ propranolol ในพลาสม่า แต่ละความเข้มข้น ทำ 3 ตัวอย่าง ดังนี้

คำนวณหาค่าเฉลี่ยของอัตราส่วน peak area ของ propranolol และ labetalol (internal standard) จากโปรแกรมที่ได้ ทำ 3 ตัวอย่าง นำค่าเฉลี่ย (x) มาหาค่าเบี่ยงเบนมาตรฐาน (standard deviation)

$$S.D. = \sqrt{\frac{\sum (x_i - \bar{x})^2}{N-1}}$$

จากค่า  $\bar{x}$  และ S.D. นำมาหาค่าสัมประสิทธิ์การกระจาย (coefficient of variation) จากสูตร  $\%CV = \frac{S.D.}{\bar{x}} \times 100$

ค่า %CV ที่ยอมรับได้ไม่ควร  $> 10\%$

### 3. การหาค่า % recovery

จากการฟณาตรฐานระหว่างอัตราส่วนของ peak area ของ propranolol ต่อ labetalol ที่ความเข้มข้นต่างๆ จะได้สมการเส้นตรง

$$y = a + bx$$

$y$  = อัตราส่วน peak area ของ propranolol ต่อ labetalol  
(peak area ratio)

$x$  = ความเข้มข้นของ propranolol ที่เตรียมในพลาสมาที่ความเข้มข้นต่างๆ

จากการฟณาตรฐาน สามารถนำมาหาค่าความเข้มข้นต่างๆ ที่วิเคราะห์ได้ จาก peak area ratio ที่ได้ โดย

ความเข้มข้นของ propranolol ที่วิเคราะห์ได้

$$= \frac{\text{peak area ratio ของ propranolol ต่อ labetalol-a}}{b}$$

จากความเข้มข้นของ propranolol ที่วิเคราะห์ได้ นำมาหาค่า % recovery จากสูตร

$$\% \text{ recovery} = \frac{\text{ความเข้มข้นของ propranolol ที่วิเคราะห์ได้}}{\text{ความเข้มข้นของ propranolol ที่เตรียม}} \times 100$$

### ภาคผนวก ๓

#### การวิเคราะห์ทางเภสัชลศาสตร์โดยใช้โปรแกรม CSTRIP

ค่าความเข้มข้นของ propranolol ในพลาสมาตัวอย่างที่เวลาต่างๆ หลังจากได้รับยาเม็ด propranolol 80 mg ของทึ้ง 4 บริษัท ถูกนำมาวิเคราะห์ หากพารามิเตอร์ต่างๆ ได้โดยใช้โปรแกรม CSTRIP จากสูตร

$$C_t = A_1 e^{-k_1 t} - A_2 e^{-k_2 t} \quad (1)$$

$$C_t = A_1 e^{-k_1 t} + Ae^{-k_2 t} - A_3 e^{-k_3 t} \quad (2)$$

ซึ่งแสดงว่ายาเม็ดพารามิเตอร์ในร่างกายแบบหนึ่งหรือแบบแสดง compartment ตามลำดับจากพารามิเตอร์ต่างๆ ที่ได้จะนำมาพิจารณารวมกับการ plot กราฟความเข้มข้น propranolol ที่เวลาต่างๆ พบว่าเหมาะสมที่จะเป็น one compartment.

ค่าพารามิเตอร์ที่ได้จากการ biexponential (สมการ 1) คือ

$C_t$  = ค่าความเข้มข้นของยาที่เวลา  $t$

$k_1$  = ค่าคงที่อัตราเร็วการกำจัดยา

$k_2$  = ค่าคงที่อัตราเร็วการคุณค่า

$A$  = ค่าคงที่จุดตัดแกน  $y$  เมื่อต่อเส้นตรงของระยะการกำจัดไปตัดแกนตั้ง

จากโปรแกรม CSTRIP จะได้ค่า  $C_{p_{max}}$ ,  $T_{max}$ ,  $t_{1/2}$  และ  $AUC_{0-->24}$  ดังนี้

$$C_{p_{max}} = A (e^{-k_1 t} - e^{-k_2 T_{max}}) \quad (3)$$

$$T_{max} = \frac{1}{K_a - K_{e1}} \frac{\ln K_a}{K_{e1}} \quad (4)$$

$$t_{1/2} = \frac{\ln 2}{K_{e1}} = \frac{0.693}{K_{e1}} \quad (5)$$

$$AUC_{0-->\infty} = A \left( \frac{1}{K_{e1}} - \frac{1}{K_a} \right) \quad (6)$$

## ----- CURVE STRIPPING -----

\*\*\*\*\* DATA SET NUMBER 1 \*\*\*\*\*

THE NUMBER OF EXPONENTIALS = 2  
SUMMARY OF EXPONENTIAL STRIPPING

THE NUMBER OF POINTS IN THE EXPONENTIAL PHASES (LAST TO FIRST)

L1= 6

L2= 3

THE BEST ESTIMATES OF THE COEFFICIENTS AND EXPONENTS ARE  
 $A_1 = 0.208703E+03$        $B_1 = 0.313209E+00$   
 $A_2 = -0.208703E+03$        $B_2 = 0.219372E+01$   
 $F = 0.391956E+03$ NO LAG TIME WAS NEEDED TO DESCRIBE THESE DATA  
THEREFORE, THE SUM OF THE EXPONENTIAL TERMS HAS FORCED THROUGH ZERO.

R SQUARE(2) = 0.97846

NO.	TIME	C(OBS)	C(EST)	/DEV
1	0.0000	0.0000	0.0000	0.00
2	1.0000	117.3600	129.3118	-10.13
3	1.5000	124.5700	122.6940	1.51
4	2.0000	118.4900	108.9579	3.04
5	2.5000	104.2300	94.5158	9.36
6	3.0000	75.6700	81.2665	-7.40
7	4.0000	56.1300	59.5930	-6.17
8	4.5000	28.3200	31.8695	-12.53
9	8.0000	18.9000	17.0346	9.87

THE NUMBER OF EXPONENTIALS = 3  
SUMMARY OF EXPONENTIAL STRIPPING

THE NUMBER OF POINTS IN THE EXPONENTIAL PHASES (LAST TO FIRST)

L1= 2

L2= 4

L3= 3

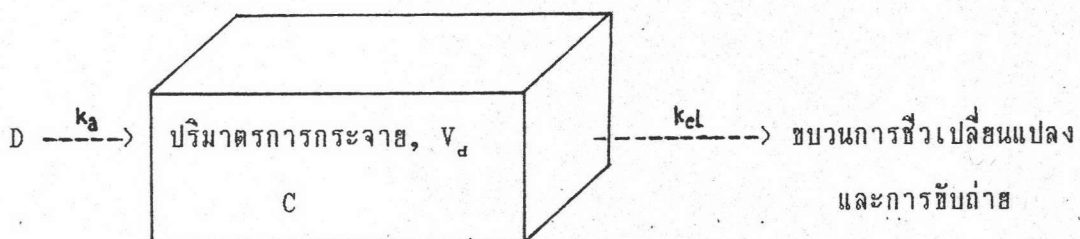
THE BEST ESTIMATES OF THE COEFFICIENTS AND EXPONENTS ARE  
 $A_1 = 0.952785E+02$        $B_1 = 0.20220E+00$   
 $A_2 = 0.249926E+03$        $B_2 = 0.734738E+00$   
 $A_3 = -0.345205E+03$        $B_3 = 0.155491E+01$   
 $F = 0.439801E+03$ 

รูปที่ 29 แสดงผลที่ได้จากการวิเคราะห์ข้อมูลด้วยโปรแกรม CSTRIP จากข้อมูลความเข้มข้นของ propranolol ในพลาสม่าเวลาต่างๆ ของอาสาสมัครคนที่ 4 หลังจากรับประทานยาเม็ดบริษัท C ขนาด 40 มิลลิกรัม 2 เม็ด

## ภาคผนวก ฉบับที่ 2

### การศึกษาเภสัชจลนศาสตร์ของ propranolol

เนื่อสมมติให้ propranolol มีเภสัชจลนศาสตร์แบบห้องเดียว (One compartment model) ดังรูป ซึ่งมีการคัดซิมและการขับถ่ายยาเป็นแบบลำดับที่หนึ่ง (first order) โดยมีข้อ สันนิษฐาน ดังนี้



รูปที่ 30 แสดงเภสัชจลนศาสตร์แบบห้องเดียว

1. การกระจายตัวของยาในปริมาตรของการกระจายตัว (volume of distribution,  $V_d$ ) ต่างๆ เป็นไปอย่างรวดเร็วและสม่ำเสมอ เมื่อเทียบกับการคัดซิม และการกำจัดยา
2. ความเข้มข้นของตัวยาในพลาスマ และเนื้อเยื่อต่างๆ เท่ากันหมด ถ้าไม่เท่ากัน ความแตกต่างนี้แก้ไขได้โดยการศึกษา
3. กระบวนการคัดซิม และกระบวนการกำจัดมีจลนศาสตร์เป็นแบบลำดับที่ 1 โดยยาเข้าสู่ร่างกายทางเดียวและออกจากร่างกายทางเดียว นี้

$$K_{el} = \text{ค่าคงที่อัตราเร็วการคัดซิม}$$

$$K_{e1} = \text{ค่าคงที่อัตราเร็วการกำจัด}$$

$$D = \text{ขนาดของยา}$$

4. กระบวนการซึ่งเปลี่ยนแปลงยาในร่างกาย มีการลำเลียงแบบคล่องตัว (Active transport) และการจับรวมตัวของยา กับโนเรกูลชนาดใหญ่ เป็นกระบวนการไม่มีจุดอิมตัว
5. ตัววัดต่างๆ ทางเภสัชจลนศาสตร์มีค่าคงที่ตลอดเวลา

## จลนศาสตร์ลำดับที่หนึ่ง (First order or Exponential kinetics)

จลนศาสตร์ลำดับที่หนึ่ง เป็นลักษณะของจลนศาสตร์ที่อัตราเร็วของขบวนการแปรปรวง กับความเข้มข้นของยาหรือสารที่เข้าทำปฏิกิริยา ในจลนศาสตร์แบบนี้ ความเข้มข้นของยา ( $C$ ) ที่ลดลงนี้เป็นอัตราส่วนโดยตรงกับความเข้มข้นของยาที่เหลือ นั่นคืออัตราที่ยาลดลง สามารถคำนวณเป็นรูปสมการได้ดังนี้

$$\frac{dc}{dt} = -KC^1 \quad \dots \dots \dots (1)$$

ตัวเลขหนึ่งเหนืออักษร  $A$  เป็นที่มาของจลนศาสตร์ลำดับที่หนึ่ง

สมการ (1) นี้ เมื่อเขียนเป็นเลขจำนวนเต็มจะได้

$$\ln C_t = -K_t + \ln C_0 \quad \dots \dots \dots (2)$$

เมื่อ  $C_t$  และ  $C_0$  คือความเข้มข้นที่เวลา  $t$  และ  $t = 0$  ตามลำดับ ซึ่งเขียนเป็นเลขยกกำลังในพีชคณิต (exponential form) ได้เป็น

$$C_t = C_0 e^{-K_t} \quad \dots \dots \dots (3)$$

สมการ 3 นี้ ยังเขียนเป็น  $\log$ ฐาน 10 ( $2.303 \log C = \ln C$ ) ได้ดังนี้

$$\log C_t = \log C_0 - K_t / 2.303 \quad \dots \dots \dots (4)$$

ในสมการ (4) กราฟที่ได้จะเป็นเส้นตรง โดยมีจุดตัดบนแกนตั้งคือ  $C_0$  และความลาดชันของเส้นตรง  $= -K_t / 2.303$  เครื่องหมายลบของ  $K_t$  แสดงให้เห็นถึงความเข้มข้นที่ลดลงเมื่อเวลาผ่านไป

จากสมการ (2) ถ้าให้  $K_{e_1}$  = อัตราเร็วคงที่ของการกำจัดยา, แทนค่า K ด้วย  $K_{e_1}$   
จะได้สมการ

$$\ln C_e/C_0 = - K_{e_1} t_{1/2} \quad \dots \dots \dots \quad (5)$$

และเมื่อ  $t = t_{1/2}$  จะทำให้

$$C_e/C_0 = 0.5$$

แทนค่าในสมการ (5) จะได้

$$\begin{aligned} \ln 0.5 &= - K_{e_1} t_{1/2} \\ -0.693 &= - K_{e_1} t_{1/2} \\ t_{1/2} &= 0.693/K_{e_1} \end{aligned} \quad \dots \dots \dots \quad (6)$$

$t_{1/2}$  นี้ เรียกว่า "เวลาครึ่งชีวิตของการกำจัด" (half-time of elimination)  
หรือ (biological half time)

### ลักษณะที่สำคัญของจนยาสต์ลำดับที่หนึ่ง คือ

1. อัตราเร็วของการที่ยาสูญหายไปหรือหมดไป (rate of drug loss) เป็นอัตราส่วนโดยตรงกับความเข้มข้นของยาที่มีอยู่
2. เวลาครึ่งชีวิตของการคงที่ตลอดเวลา จากสมการ (6) ชี้ว่า

$$t_{1/2} = 0.693/K_{e_1}$$

ซึ่ง  $K_{e_1}$  = ค่าคงที่อัตราเร็วของการกำจัดยา

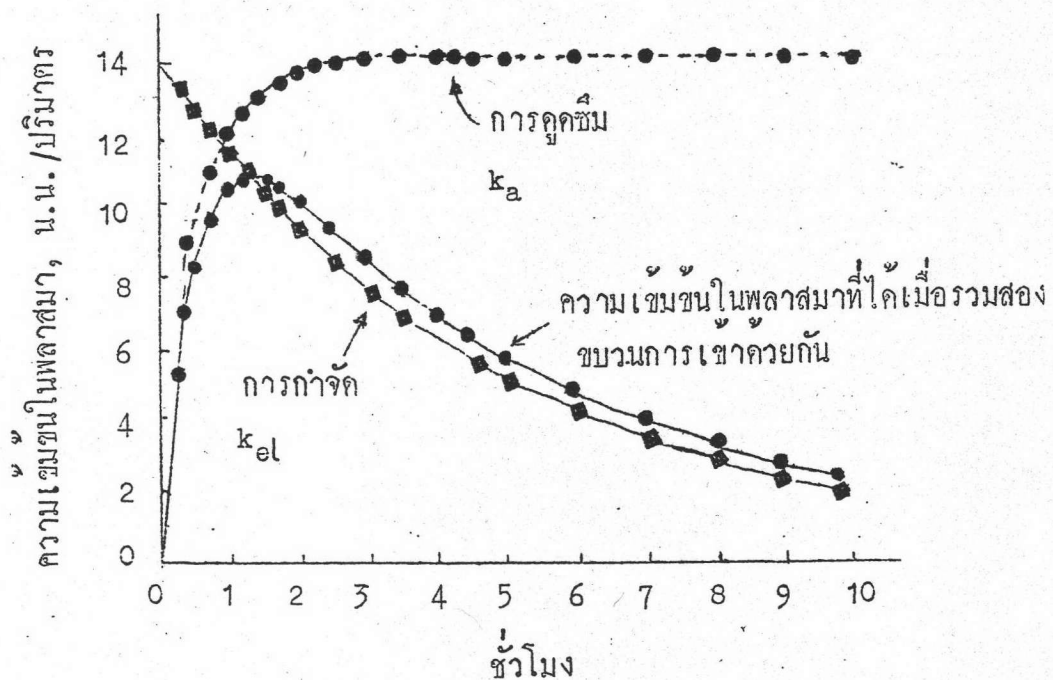
จากสมการ (6) จะเห็นว่าทั้ง  $t_{1/2}$  และ  $K_{e_1}$  ไม่ขึ้นอยู่กับปริมาณของยาที่มีอยู่ ซึ่งเป็นหลักสำคัญของจนยาสต์ลำดับที่หนึ่ง และยาทั่วๆ ไป มีการกำจัดแบบ exponential นี้

### ภาคผนวก ๗

#### วิธีการคำนวณหาค่าพารามิเตอร์ต่างๆ ทางเกลี้ยงจลนศาสตร์

จากข้อมูลที่ได้จากการวิจัย นำมาหาค่าพารามิเตอร์ต่างๆ ทางเกลี้ยงจลนศาสตร์ โดยใช้แบบจำลองแบบห้องเดียวสำหรับหนึ่ง ดังนี้

1. จากข้อมูลความเข้มข้นของยาในพลาスマ ที่เวลาต่างๆ นำมาเขียนกราฟระหว่างความเข้มข้นกับเวลาต่างๆ จะได้เส้นโค้งแสดงความสัมพันธ์ระหว่างความเข้มข้นของตัวยาในพลาสมากับเวลาต่างๆ จะได้ค่าต่างๆ เหล่านี้



รูปที่ 31 グラฟแสดงความสัมพันธ์ระหว่างความเข้มข้นของยาในพลาสมากับเวลา ของกระบวนการดูดซึม การกำจัดแต่ละขบวนการ และเมื่อรวมสองขบวนการนี้เข้าด้วยกัน ที่เกิดขึ้นเมื่อให้ยาโดยการรับประทาน

1.1 AUC<sub>0-24</sub> (the area under the plasma concentration-time curve)

คือ ชั้นที่ได้ส่วนโค้งของความเข้มข้นของยาในพลาสมากับเวลา จากเวลา 0 ถึง เวลา 24 ชั่วโมง ค่าذึ่งใช้เป็นเครื่องดัชนีวัดถึงปริมาณของการเอื้อประโยชน์ในร่างกายของยา ซึ่งแสดงถึงปริมาณทั้งหมดของ active drug ซึ่งเข้าสู่ระบบไหลเวียนของเลือด หน่วยของ AUC คือ ความเข้มข้น x เวลา เช่น นา./มล. x ชม.

1.2 C<sub>max</sub> (the peak plasma concentration) คือ ความเข้มข้นสูงสุดในพลาสมาหลังจากให้รับประทานยา ยาส่วนมากจะพบว่าผลทางเภสัชวิทยาของยานี้ความสัมพันธ์กับความเข้มข้นของยาในพลาสมา จึงเป็นตัวบ่งชี้ว่า ยานี้มีฤทธิ์ชีมเข้าสู่ร่างกายเพียงพอที่จะให้ผลในการรักษาหรือไม่ และ/หรือ ระดับยาสูงเกินไปจนทำให้เกิดพิษ (toxic) หรือไม่ หน่วยของ C<sub>max</sub> คือหน่วยของความเข้มข้น เช่น นา./ชม.

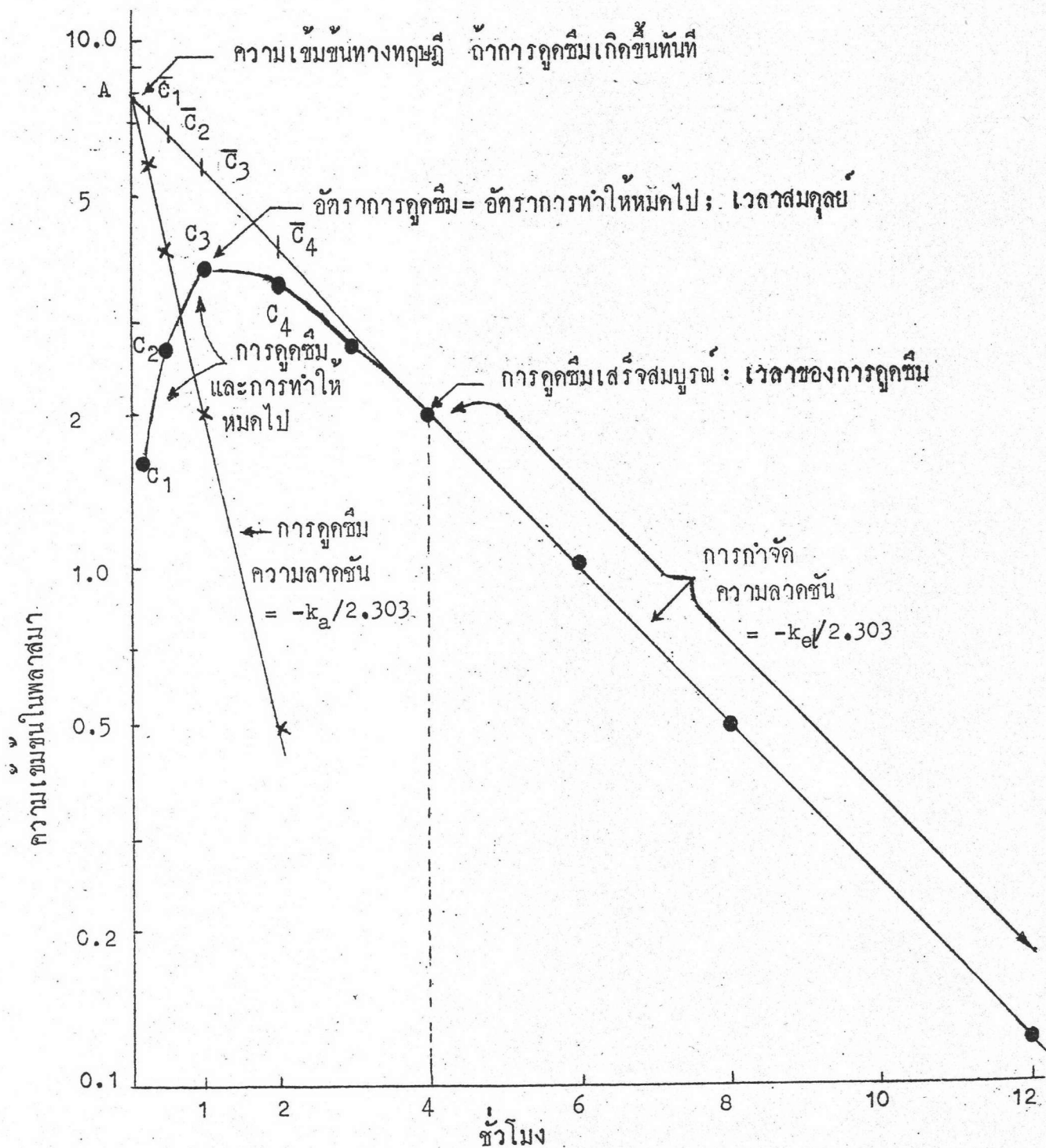
1.3 t<sub>max</sub> (the time of peak plasma concentration) คือ เวลาหลังจากเริ่มให้ยาจนถึงเวลาที่ความเข้มข้นของยาในพลาสมา ถึงจุดสูงสุด ณ เวลา t<sub>max</sub> การคุณชีมจะสูงสุด และอัตราเร็วของการคุณชีมจะเท่ากับอัตราเร็วของการขัดยา หน่วย t<sub>max</sub> คือ เวลา เช่น นาที

จากราฟจะพบว่ามีระยะที่ความเข้มข้นในพลาสมามีเพิ่มขึ้นก่อน เมื่อเวลาผ่านไปความเข้มข้นในพลาสมาลดลง และความลาดชันของเส้นตรงส่วนหลังเป็นเส้นตรง (log-linear) ใช้เส้นตรงส่วนนี้คำนวณค่า t<sub>1/2</sub> และ K<sub>e-1</sub>

2. คำนวณหาค่า K<sub>e</sub>

สำหรับการให้ยาทางอินทรอกเนื้อจากการให้โดยวิธีฉีดเข้าหลอดเลือดดำโดยตรงแล้ว ยาที่เข้าสู่ร่างกายจะต้องผ่านกระบวนการต่างๆ 3 ขั้นตอนการคือ การคุณชีม การกระจาย และการกำจัดยา ในเภสัชลศาสตร์แบบห้องเดียว การศึกษาถึงความสัมพันธ์ระหว่างความเข้มข้นของตัวยาในพลาสมากับเวลา จะได้เส้นแสดงความสัมพันธ์ของขบวนการต่างๆ ดังรูปที่ 32 แสดงถึงแต่ละขบวนการของการคุณชีม การกำจัด และผลกระทบของส่องขบวนการนี้ในทางปฏิบัติ การใช้กราฟแสดงความสัมพันธ์ระหว่างความเข้มข้นของยาในพลาสมากับเวลาจะเป็นแบบกึ่ง log

จากข้อมูลที่ได้จากการวิจัย ศึกษาด้วยความเข้มข้นของยาพาราโนลอลในพลาสม่าที่เวลาต่างๆ ใช้กราฟกราฟกึ่ง  $\log$  เชื่อมระหว่างความเข้มข้นกับเวลา โดยใช้แกน  $\log$  เป็นความเข้มข้น จะได้กราฟ ดังรูป



รูปที่ 32 แสดงความสัมพันธ์ระหว่าง  $\log$  ความเข้มข้นของยาในพลาสม่ากับเวลา ( $C_e$ ) ที่เกิดขึ้นหลังจากการให้อาสาสมัครรับประทานยาหนึ่งชนิด ยานี้มีเกลือชุลนสารสตร์แบบห้องเดียว

จากรูปที่ 32 ระยะที่ความเข้มข้นของตัวยาในพลาสม่าเพิ่มขึ้นเป็นระยะของการดูดซึม แต่ความลับพันธ์ที่ได้ไม่เป็นเส้นตรง เนื่องจากมีขบวนการกำจัดยาเข้ามาเกี่ยวข้องด้วยทันทีที่ยาเข้าสู่กระแสโลหิต จนเมื่อการดูดซึมของยาเสร็จสมบูรณ์ ความเข้มข้นของตัวยาในพลาสม่าจึงลดลงเป็นเส้นตรง ระยะนี้จึงเป็นระยะของการกำจัดยา

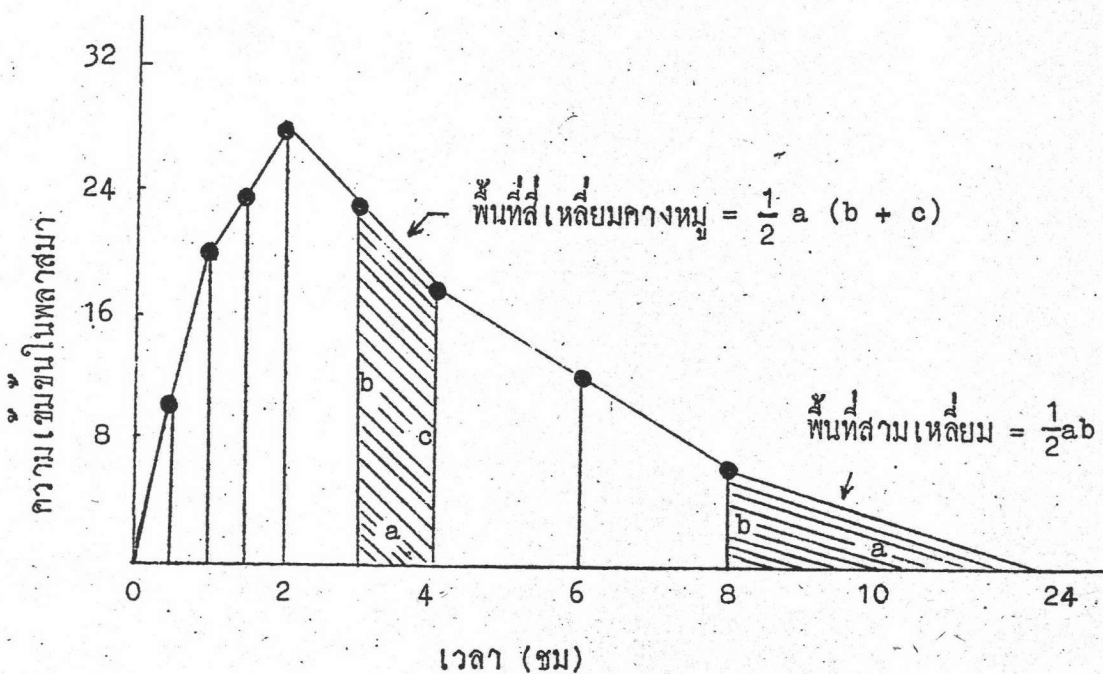
การหาค่าคงที่อัตราเร็วของการดูดซึม ( $K_a$ ) หากได้จากวิธีของส่วนที่เหลือ (Method of residual)

### วิธีหาค่า AUC

$$1. \text{ จากสูตร } AUC = C_o / K_{a,1}$$

$$2. \text{ จาก Trapezoidal rule}$$

โดยใช้สูตร  $\frac{h}{2} [f_1 + 2f_2 + f_3]$  เพื่อคำนวณหา AUC ให้ได้ ซึ่งสูตรนี้ได้คำนึงถึงความสัมพันธ์ระหว่างความเข้มข้นของยาในพลาสมากับเวลา ออกเป็นส่วนๆ ที่พอดีกัน ดังรูป รูปสุดส่องด้านจะเป็นพื้นที่สามเหลี่ยม นำพื้นที่หักห้าม ที่คำนวณได้ตั้งแต่เวลา  $t = 0$  และ  $t = n$  มารวมกัน เป็นพื้นที่ภายในกราฟที่ตั้งทั้งหมด นี่หน่วยเป็น ความเข้มข้น  $x$  เวลา



รูปที่ 33 การหาพื้นที่ใต้กราฟความเข้มข้นของยาในพลาสมากับเวลา โดยใช้กฎพื้นที่สามเหลี่ยมคงที่

ภาคผนวก ช

ตารางที่ 20 แสดงอัตราการเต้นของชีพจรที่เวลาต่างๆ หลังจากให้ยาเม็ด propranolol  
จากบริษัท A ขนาด 40 มิลลิกรัม 2 เม็ด ในอาสาสมัคร 10 คน

คนที่	อาสาสมัคร										เวลา (ชม.)
	0	1	1.5	2	2.5	3	4	6	8	24	
1	80	-	-	66	70	-	72	74	74	76	
2	80	72	72	72	72	80	70	74	74	82	
3	76	66	60	60	64	60	68	66	68	-	
4	80	60	64	60	56	60	60	64	60	-	
5	88	-	72	66	70	-	76	72	-	-	
6	72	-	66	-	-	-	-	72	68	70	
7	80	62	60	60	68	66	64	66	66	80	
8	96	88	80	76	78	76	76	80	76	74	
9	74	70	60	64	64	64	60	60	60	60	
10	72	60	60	62	64	76	74	72	72	72	

หมายเหตุ : เวลาที่ 0 คือก่อนเริ่มรับประทานยา

- คือ ไม่ได้วัด

ตารางที่ 21 แสดงอัตราการเห็นของพูรท์เวลาต่างๆ หลังจากให้ยาเม็ด propranolol

จากบริษัท B ขนาด 40 มิลลิกรัม 2 เม็ด ในอาสาสมัคร 10 คน

คนที่	เวลา (ชม.)									
	0	1	1.5	2	2.5	3	4	6	8	24
1	72	72	66	74	76	76	88	76	78	80
2	80	84	68	62	76	66	64	72	68	74
3	88	66	64	68	72	66	80	74	80	88
4	76	70	52	56	60	60	60	56	60	-
5	84	76	72	68	68	68	66	68	66	-
6	68	66	64	64	60	66	60	64	64	68
7	80	68	64	60	68	76	68	54	70	80
8	96	72	70	68	72	76	84	76	76	76
9	64	56	54	60	60	58	58	60	62	64
10	80	72	62	70	70	66	70	76	66	70

หมายเหตุ : เวลาที่ 0 คือก่อนเริ่มรับประทานยา

- คือ ไม่ได้วัด

ตารางที่ 22 แสดงอัตราการเต้นของชีพจรที่เวลาต่างๆ หลังจากให้ยาเม็ด propranolol  
จากบริษัท C ขนาด 40 มิลลิกรัม 2 เม็ด ในอาสาสมัคร 10 คน

อาสาสมัคร คนที่	เวลา (ชม.)										
	0	1	1.5	2	2.5	3	4	6	8	24	
1	80	64	-	-	-	72	74	70	72	80	
2	80	70	70	56	60	88	80	68	-	-	
3	76	72	66	66	60	68	75	64	66	84	
4	64	64	60	60	60	68	72	80	82	-	
5	80	66	64	68	66	64	68	68	72	-	
6	66	76	70	68	70	70	70	70	64	70	
7	84	68	68	66	66	60	80	68	76	70	
8	82	78	80	72	76	80	76	80	78	84	
9	62	60	54	60	60	54	60	60	56	76	
10	72	70	58	72	72	72	72	76	72	74	

หมายเหตุ : เวลาที่ 0 คือก่อนเริ่มรับประทานยา

- คือ ไม่ได้วัด

ตารางที่ 23 แสดงอัตราการเต้นของชีพจรที่เวลาต่างๆ หลังจากให้ยาเม็ด propranolol  
จากบริษัท D ขนาด 40 มิลลิกรัม 2 เม็ด ในอาสาสมัคร 10 คน

คนที่	เวลา (ชม.)											
	0	1	1.5	2	2.5	3	4	6	8	24		
1	78	70	64	64	72	76	70	70	70	70	66	
2	76	72	68	64	62	-	64	64	60	68		
3	78	72	68	70	70	76	70	74	68	72		
4	80	-	70	58	64	64	80	68	66	-		
5	84	72	70	66	60	70	70	70	72	-		
6	72	66	66	64	70	64	70	70	70	72		
7	80	62	68	64	66	66	68	70	64	72		
8	82	-	80	80	80	80	88	74	88	68		
9	64	58	54	60	56	62	60	60	52	70		
10	80	64	64	64	64	70	70	70	74	-		

หมายเหตุ : เวลาที่ 0 คือก่อนเริ่มรับประทานยา  
- คือ ไม่ได้วัด

## ภาคผนวก ณ

ตารางที่ 24 แสดงความดันโลหิต systolic ที่เวลาต่างๆ หลังจากให้ยาเม็ด propranolol จากบริษัท A ขนาด 40 มิลลิกรัม 2 เม็ด ในอาสาสมัคร 10 คน

คนที่	อาสาสมัคร											เวลา (ชม.)
	0	1	1.5	2	2.5	3	4	6	8	24		
1	110	-	-	100	100	-	90	90	90	94		
2	100	98	96	90	90	90	90	94	90	88		
3	106	104	90	100	98	98	104	100	108	-		
4	110	100	100	94	90	96	90	100	100	-		
5	120	-	130	120	120	120	-	100	120	-		
6	110	100	-	-	-	-	-	102	110	110		
7	130	110	100	116	126	110	110	100	100	120		
8	120	120	110	108	100	100	100	96	100	100		
9	110	110	100	100	100	100	100	100	110	100		
10	110	100	100	100	90	90	100	100	100	110		

หมายเหตุ : เวลาที่ 0 คือก่อนเริ่มรับประทานยา

- คือ ไม่ได้วัด

ตารางที่ 25 แสดงความดันโลหิต systolic ที่เวลาต่างๆ หลังจากให้ยาเม็ด propranolol  
จากบริษัท B ขนาด 40 มิลลิกรัม 2 เม็ด ในอาสาสมัคร 10 คน

คนที่	เวลา (ชม.)										
	0	1	1.5	2	2.5	3	4	6	8	24	
1	100	100	100	90	90	90	90	90	90	100	
2	100	110	100	100	110	100	90	100	90	90	
3	104	90	98	90	88	90	90	90	90	100	
4	110	110	110	90	90	96	94	90	100	-	
5	100	120	120	110	120	100	100	100	100	-	
6	90	100	100	110	98	100	92	90	90	90	
7	130	120	118	106	110	110	110	100	110	120	
8	120	116	104	100	100	110	100	100	100	120	
9	110	116	110	100	110	110	110	96	100	130	
10	110	130	110	110	110	90	90	130	120	110	

หมายเหตุ : เวลาที่ 0 คือก่อนเริ่มรับประทานยา

- คือ ไม่ได้วัด

ตารางที่ 26 แสดงความดันโลหิต systolic ที่เวลาต่างๆ หลังจากให้อาเจ็ค propranolol จากบริษัท C ขนาด 40 มิลลิกรัม 2 เม็ด ในอาสาสมัคร 10 คน

คนที่	เวลา (ชม.)										
	0	1	1.5	2	2.5	3	4	6	8	24	
1	110	90	-	-	-	100	94	88	92	120	
2	120	100	94	100	96	90	100	100	-	-	
3	110	110	100	90	90	100	90	90	90	98	
4	100	98	110	90	90	90	80	98	100	-	
5	120	110	120	120	110	104	110	100	110	-	
6	100	110	120	110	110	110	110	100	104	100	
7	130	110	120	130	120	110	120	120	120	120	
8	120	110	100	100	100	90	90	90	90	110	
9	120	118	100	100	100	106	104	100	100	110	
10	104	100	98	108	110	110	100	110	110	100	

หมายเหตุ : เวลาที่ 0 คือก่อนเริ่มรับประทานยา

- คือ ไม่ได้วัด

ตารางที่ 27 แสดงความดันโลหิต systolic ที่เวลาต่างๆ หลังจากให้ยาเม็ด propranolol  
จากบริษัท D ขนาด 40 มิลลิกรัม 2 เม็ด ในอาสาสมัคร 10 คน

คนที่	เวลา (ชม.)										
	0	1	1.5	2	2.5	3	4	6	8	24	
1	114	100	86	86	100	90	90	86	90	110	
2	104	90	90	90	90	-	90	90	90	110	
3	100	90	94	100	94	90	96	90	94	110	
4	120	-	110	90	100	100	90	90	100	-	
5	124	110	110	110	100	100	100	100	120	-	
6	110	110	90	90	90	100	100	90	90	110	
7	130	120	120	116	106	120	110	110	114	140	
8	120	110	110	110	100	90	100	90	90	100	
9	120	110	110	90	90	100	100	100	90	110	
10	110	100	100	100	100	100	98	100	108	-	

หมายเหตุ : เวลาที่ 0 คือก่อนเริ่มรับประทานยา

- คือ ไม่ได้วัด

ภาคผนวก ญ

ตารางที่ 28 แสดงความดันโลหิต diastolic ที่เวลาต่างๆ หลังจากให้ยาเม็ด propranolol จากบริษัท A ขนาด 40 มิลลิกรัม 2 เม็ด ในอาสาสมัคร 10 คน

คนที่	เวลา (ช.ม.)										
	0	1	1.5	2	2.5	3	4	6	8	24	
1	70	-	-	70	70	-	60	60	60	60	
2	60	70	68	60	58	60	58	60	60	60	
3	70	70	60	70	64	70	70	68	70	-	
4	70	70	60	60	60	70	60	74	70	-	
5	90	-	90	90	90	90	-	80	80	-	
6	80	70	-	-	-	-	-	84	70	70	
7	90	70	60	86	80	70	70	70	74	90	
8	70	70	70	70	60	70	70	70	78	70	
9	70	80	70	70	70	70	70	70	80	60	
10	70	60	70	70	64	56	70	70	70	80	

หมายเหตุ : เวลาที่ 0 คือก่อนเริ่มรับประทานยา  
- คือ ไม่ได้วัด

ตารางที่ 29 แสดงความตันโลหิต diastolic ที่เวลาต่างๆ หลังจากให้ยาเม็ด propranolol จากบริษัท B ขนาด 40 มิลลิกรัม 2 เม็ด ในอาสาสมัคร 10 คน

คนที่	อาสาสมัคร											เวลา (ชม.)
	0	1	1.5	2	2.5	3	4	6	8	24		
1	78	80	60	60	60	60	60	60	60	60	60	
2	70	88	70	60	70	60	70	60	60	60	60	
3	60	60	60	60	60	60	60	60	60	60	60	
4	70	70	70	60	60	66	64	60	60	-	-	
5	80	90	90	80	80	70	70	64	80	-	-	
6	60	80	80	70	70	74	60	60	60	70		
7	90	94	94	90	70	80	80	70	80	90		
8	70	80	78	80	70	80	70	60	60	90		
9	80	70	60	70	80	70	70	70	60	80		
10	70	70	80	70	80	70	60	70	70	70		

หมายเหตุ : เวลาที่ 0 คือก่อนเริ่มรับประทานยา

- คือ ไม่ได้วัด

ตารางที่ 30 แสดงความดันโลหิต diastolic ที่เวลาต่างๆ หลังจากให้ยาเม็ด propranolol จากบริษัท C ขนาด 40 มิลลิกรัม 2 เม็ด ในอาสาสมัคร 10 คน

คนที่	เวลา (ชม.)										
	0	1	1.5	2	2.5	3	4	6	8	24	
1	70	60	-	-	-	70	60	60	60	90	
2	70	70	60	70	60	70	60	60	-	-	
3	70	70	70	70	60	60	60	60	60	60	
4	66	70	80	60	60	60	50	60	70	-	
5	80	70	86	80	70	70	70	70	80	-	
6	70	70	90	70	78	80	80	80	80	60	
7	90	80	90	90	80	80	70	70	70	-	
8	90	70	80	80	70	70	60	60	60	70	
9	90	90	70	80	76	70	70	68	60	90	
10	70	70	70	78	80	70	68	78	70	70	

หมายเหตุ : เวลาที่ 0 คือก่อนเริ่มรับประทานยา

- คือ ไม่ได้วัด

ตารางที่ 31 แสดงความดันโลหิต diastolic ที่เวลาต่างๆ หลังจากให้ยาเม็ด propranolol จากบริษัท D ขนาด 40 มิลลิกรัม 2 เม็ด ในอาสาสมัคร 10 คน

คนที่	เวลา (ชม.)										
	0	1	1.5	2	2.5	3	4	6	8	24	
1	80	80	60	60	70	60	60	50	68	70	
2	60	60	60	60	60	-	60	60	60	80	
3	70	70	64	60	60	60	60	60	66	70	
4	84	-	80	60	60	60	60	60	70	-	
5	90	90	90	90	60	78	74	70	90	-	
6	70	70	60	60	60	60	60	60	60	70	
7	90	70	90	76	70	90	90	80	80	90	
8	80	-	80	80	70	70	60	60	60	60	
9	90	70	70	70	70	70	70	60	60	90	
10	70	66	68	70	76	70	70	70	80	-	

หมายเหตุ : เวลาที่ 0 คือก่อนเริ่มรับประทานยา

- คือ ไม่ได้วัด

**ประวัติผู้เขียน**

นางสาว ศิริมาศ นันทสมบูรณ์ เกิดวันที่ 20 ตุลาคม พ.ศ.2508 ที่จังหวัดกรุงเทพฯ สำเร็จการศึกษาชั้นปริญญาตรี วิทยาศาสตรบัณฑิต (พยาบาล และพดุงครรภ์) จากโรงเรียน โรงพยาบาลรามาธิบดี มหาวิทยาลัยมหิดล ในปีการศึกษา 2529 และเข้าศึกษาต่อในหลักสูตร วิทยาศาสตรบัณฑิต (สาขาวิชาเภสัชวิทยา) ที่จึงได้ลงทะเบียน修業 มหาวิทยาลัย เมื่อ ปี พ.ศ.2533

